

УДК 666.1.031.11

© 1993 г.

## ВЫСОКОСКОРОСТНОЕ ТЕРМИЧЕСКОЕ УПЛОТНЕНИЕ МАТЕРИАЛОВ

*В. В. Гусаров, С. А. Суворов*

Анализ имеющихся данных на базе развивающихся авторами системодинамических представлений о твердофазном материале как о многоуровневой структуре позволил выделить факторы, определяющие ускорение процесса спекания, и обосновать технологические приемы быстрого спекания.

К числу интенсивно развивающихся направлений современной технологии твердофазных неорганических материалов относится разработка способов их быстрого уплотнения в условиях высокотемпературного воздействия, например, путем спекания. Под спеканием будем понимать технологический прием, основанный на термообработке технических объектов, инициирующий совокупность процессов, отвечающих стремлению исходной дисперсной твердофазной системы к равновесному (через операционально локально-равновесные) или стационарному состоянию и приводящих к изменению соотношения объемных долей и пространственного распределения телесных областей 3-, 2- и 1-мерных фаз в системе, которые сказываются на уплотнении материала, повышении его прочности или других технических характеристиках. Ранее было показано влияние состояния, структуры и величины объемных долей 2- и 1-мерных неавтономных фаз на скорость эволюции системы [1–15].

В процессе развития твердофазной системы можно выделить следующие элементарные стадии: 1) установление локального равновесия внутри и между телесными областями 3-, 2- и 1-мерных фаз, отвечающего существующему там термическому, механическому, электромагнитному и химическому состояниям и происходящего путем релаксационных перегруппировок элементарных составляющих фаз, включая фазовые переходы и, в частности, плавление в локально-равновесных областях; 2) увеличение области локально-равновесного состояния путем транспорта энергии и вещества, т. е. переносом телесных областей фаз, диффузией компонентов внутри 1-, 2- и 3-мерных фаз, транспортом составляющих из одной фазы в другую.

Скорости процессов при спекании определяются величинами движущих сил, подвижностей элементарных составляющих, долей каждого из них в эволюции системы и характером сопряжения элементарных процессов между собой. Систематизированные данные о параметрах, определяющих скорость отдельных процессов, и о технологических приемах, позволяющих повышать скорость эволюции всей системы, приведены в таблице. Естественно, что общее уравнение динамики системы должно включать описание процессов, приведенных в таблице, с учетом наличия взаимосвязи между ними (через общие параметры или на уровне взаимных эффектов), а также пространственного распределения состояния дисперсной системы и внешнего воздействия.

Следующий иерархический уровень рассмотрения связан с привлечением данных о геометрических параметрах спекаемого, термомеханически или другими способами обрабатываемого тела, характере химического, механического, элек-

тромагнитного, теплового контакта с внешней средой и заключается в анализе возникающего напряженного и деформированного состояния в системе как в ма-крутилеле с учетом эволюции свойств, формируемых на более низких уровнях иерархии. При этом при многоуровневом рассмотрении системы необходимо учи-тывать сопряжения процессов не только на каждом уровне, но и межуровневые, приводящие к интенсификации или замедлению процессов, сопровождающих спекание. Результаты исследования некоторых процессов, активирующих или пассивирующих эволюцию системы и формируемых на уровне изделия, рассма-тривались ранее [7, 8, 12, 16], и в данной работе указанные эффекты не анали-зируются. В качестве примеров рассмотрим несколько частных случаев, пока-зывающих механизм ускорения процесса спекания путем направленного техноло-гического воздействия на определенную ветвь эволюции системы.

Трансформационные и транспортные процессы в материалах, сопровождающие спекание, горячее прессование и т.п.

№ процесса	Элементарные трансфор-мационные и транспор-тные процессы сопрово-ждающие спекание	Технологические приемы, позво-ляющие ускорять процессы, при-водящие, к уплотнению материала	Параметры регулирования
1	Плавление 2- и 1-мер-ных неавтономных фаз	Увеличение $\Delta T$ за счет повышения температуры $T_0$ или понижения температуры плавления неавтоно-мых фаз $T_{Gi}$ , изменение их со-става и структуры. Увеличение скорости нагрева до температуры $T_0$ или использование других спо-бов, приводящих к стабилизации значений температур $T_{Gi}$ в проце-се уплотнения материала: напри-мер, преимущественный нагрев не автономных 2-мерных фаз (исполь-зование микроволновой обработки и т.п.), кинетическое или термо-динамическое затруднение измене-ния состава неавтономных 2-, 1-мерных фаз и др.	$T_0(\tau); T_{Gi}(i=1,2)$
2	Транспорт телесных об-ластей жидкой 2-мер-ной неавтономной фазы по твердой поверхно-сти частиц	Увеличение движущей силы $\sigma$ вве-дением соответствующих гетеро-фазных добавок и регулированием морфологии частиц порошка. По-нижение вязкости $\eta$ жидких не-автономных фаз изменением их состава и структуры. Повышение однородности состава неавтономных фаз путем создания соответству-ющей предыстории порошкообразно-го материала (например, проведе-ние циклических химических ре-акций на поверхности [11])	$\sigma; \eta_2$
3	Кооперативный массопе-ренос телесных областей жидких неавтономных фаз	Увеличение движущей силы введе-введением соответствующих гетеро-фазных добавок, регулированием морфологии частиц, скоростью ре-лаксационных процессов при уста-новлении локального равновесия между пространственно сопряжен-ными телесными областями автомо-	$\tau; \eta_i, \bar{h}_i (i=1,2)$

№ процесса	Элементарные трансформационные и транспортные процессы сопровождающие спекание	Технологические приемы, позволяющие ускорять процессы, приводящие, к уплотнению материала	Параметры регулирования
4	Диффузионный перенос компонентов по неавтономным фазам	Уменьшение вязкости неавтономных фаз. Уменьшение вязкости неавтономных фаз изменением их состава и структуры. Увеличение равновесной, метастабильной или лабильной толщины неавтономных фаз. Уменьшение давления газов в закрытых порах путем предварительного вакуумирования или спекания в газовых средах, легко транспортируемых через твердую фазу ( $\text{He}$ , $\text{H}_2$ , ...)	$\Delta M_j$ ; $D_j$ ; $\bar{h}_i$ ( $i=1,2$ )
5	Трансформация телесных областей 3-мерных фаз в жидкие неавтономные 2-мерные фазы	Увеличение движущей силы введением соответствующих гетерофазных добавок, регулированием морфологии частиц, скоростью релаксационных процессов при установлении локального равновесия между телесными областями неавтономных фаз различного вида в процессе массопереноса за счет $\tau(z)$ . Увеличение нетрансляционных геометрических размеров неавтономных фаз. Увеличение коэффициента диффузии изменением состава и структуры неавтономных фаз	$F_k$ , $\bar{h}_i$ ( $i=1,2$ )
6	Кристаллизация телесных областей неавтономных фаз на пространственно сопряженных с ними телесных областях автономных (3-мерных) фаз при понижении температуры, смещении телесных областей автономных фаз и др. препятствует уплотнению на начальных стадиях спекания и способствует уплотнению и повышению прочности материала на конечных стадиях спекания	Сближение телесных областей автономных фаз на расстояния, меньшие толщины жидкой неавтономной фазы, - горячее прессование, «горячая ковка» и т.п. Увеличение нетрансляционных размеров телесных областей неавтономных фаз путем повышения температуры или другими способами	$T(x,y,z;\tau)$ ; $\sigma_{ij}(x,y,z;\tau)$

№ процесса	Элементарные трансформационные и транспортные процессы сопровождающие спекание	Технологические приемы, позволяющие ускорять процессы, приводящие к уплотнению материала	Параметры регулирования
7	Перенос телесных областей автономных фаз под действием сил поверхностного давления, электрических сил, возникающих вследствие появления заряда и двойного электрического слоя в неавтономных фазах при установлении локального равновесия, механических сил, появляющихся из-за неоднородности процессов, протекающих при спекании материала, и вследствие внешнего воздействия на систему	Увеличение $F_p$ за счет неоднородного распределения частиц и неоднородности процессов установления локального равновесия, а также увеличения площади контакта телесных областей автономных фаз и сил сцепления телесных областей автономных и неавтономных фаз. Уменьшение $F_q$ путем варьирования состава и толщины поверхностной фазы. Направление $F_m$ и $F_s$ в сторону сближения частиц. Уменьшение массы частиц порошка и вязкости неавтономных фаз. Использование порошков с предысторией, обеспечивающей минимальные степени их исходной агломерированности и агломерируемости в процессе спекания за счет неизохронности процессов	$F_k; \eta_i; m_n$

Примечание.  $T_{Gi}$  – температуры плавления неавтономных локально-равновесных фаз с одним ( $i=2$ ) и двумя ( $i=1$ ) нетрансляционными линейно независимыми направлениями;  $\sigma$  – избыточная энергия неавтономной фазы;  $\tau(z)$  – распределение тангенциальных напряжений по оси  $z$ , перпендикулярной нетрансляционным направлениям в неавтономной фазе;  $F_k$  – силы различной природы, действующие на телесные области автономных и неавтономных фаз ( $k=p$  – силы поверхностного давления, действующие на соприкасающиеся порошкообразные частицы;  $k=q$  – кулоновские силы взаимодействия между частицами, в приповерхностном слое которых организовался двойной электрический слой;  $k=m$  – силы, связанные с напряженным состоянием материала, вызванным неоднородностью усадки;  $k=s$  – силы внешнего воздействия на систему);  $\eta_i$  – вязкость жидкой  $i$ -мерной фазы;  $\bar{h}_i$  – вектор характеристических нетрансляционных размеров  $i$ -мерных фаз [ $i=1 - \bar{h}_1 = h_1(1)$ ,  $h_1(2)$ ;  $i=2 - \bar{h}_2 = h_2$ ];  $M_j$  – обобщенный химический потенциал  $j$ -той элементарной составляющей;  $D_j$  – коэффициент диффузии  $j$ -той элементарной составляющей;  $\sigma_{ij}$  – тензор напряжений в материале;  $m_n$  – масса  $n$ -ной частицы спекаемого порошка.

При уплотнении материалов методом горячего прессования (или горячей ковки) элементарными стадиями будут: 1) установление локального механического равновесия (выравнивание значений гидростатического давления); 2) плавление телесных областей 3-мерных фаз, сблизившихся на расстояния, меньшие нетрансляционных размеров телесных областей локально-равновесных жидких 2- и 1-мерных фаз; 3) кристаллизация неравновесных жидких 1- и 2-мерных фаз, если их динамические размеры превышают равновесные значения с ростом или образованием новых телесных областей 3-мерных фаз.

Уравнения, описывающие динамику системы на перечисленных стадиях для различных асимптотических случаев предложены в работах [14, 15]. Анализ данных выражений показывает, что при температурах, превышающих температуры плавления  $i$ -мерных неавтономных фаз ( $T_{Gi}$  [17]), т.е. при  $T > T_{Gi}$ , в случае больших значений действующих сил и скоростей трансформации телесных областей 3-мерных фаз в 2- и 1-мерные и малых значений скоростей обратных трансформаций в системе идет накопление телесных областей жидких неравновесных фаз, что в свою очередь приводит к ускорению уплотнения материала вслед-

ствие облегчения транспорта и переориентации кристаллитов, вытеснения газовых включений жидкой неравновесной фазой, растворения газовой фазы в жидкости и др., т.е. наблюдается автоускорение уплотнения материала. Отметим, что, как следует из уравнений, полученных ранее [14, 15], автоускорение возможно только в определенном интервале значений температур, внешних усилий и физико-химических параметров исходной системы.

Высокой скорости уплотнения дисперской системы, особенно в начальной стадии спекания, можно добиться путем регулирования состава и свойств 2-мерных неавтономных фаз при создании исходной композиции и в процессе термической обработки. Нанесение на частицы компонента, подвергаемого спеканию, тонкого слоя (толщиной, сравнимой с нетрансляционным размером 2-мерной неавтономной фазы при температуре обжига) другого вещества с высокой степенью пространственного сопряжения компонентов приводит к изъятию из эволюции системы процессов № 2–4 (см. таблицу), что в подавляющем числе случаев существенно ускоряет высокотемпературное развитие всей системы. При этом в связи с массопереносом между 3- и 2-мерными фазами изменяется состав последних, а следовательно, и  $T_{Gi}$ , т.е. термообработку необходимо вести в неизотермическом режиме  $T_0=T_0(\tau)$ , отслеживающем изменяющиеся значения  $T_{Gi}(\tau)$  [ $T_{Gi}(\tau)+\Delta T_1(\tau) \leq T_0(\tau) \leq T_{Gi}(\tau)+\Delta T_2(\tau)$ ]. Подобные процессы подробно описаны на примере эволюции системы  $\text{AlO}_{1.5}-\text{TiO}_2$  [3, 5, 9–11]. Аналогичного эффекта можно добиться при термическом уплотнении материалов с высокими значениями поверхностной энергии одного из компонентов. Так, спекание оксида берилля слабо чувствительно к способу внесения активирующей добавки и дисперсности частиц примеси, т.е. к исходному значению степени пространственного сопряжения компонентов, так как вследствие высоких значений поверхностной энергии  $\text{BeO}$  образование относительно однородной локально-равновесной 2-мерной фазы завершается в течение примерно 60 с при  $T_0 > T_{Gi}$  [3, 4], что подтверждается данными о кинетике взаимодействия оксидов берилля и железа (III) (рис. 1).

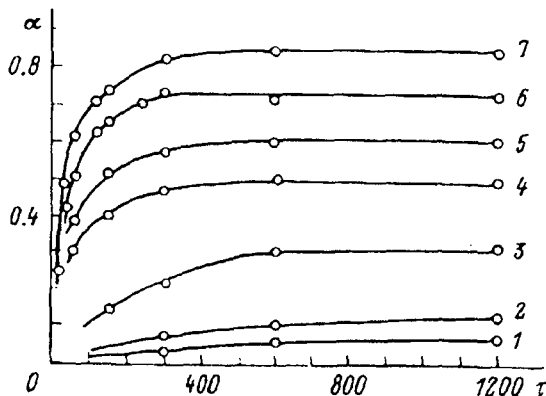


Рис. 1. Зависимость доли  $\alpha$  оксида железа в неавтономной 2-мерной фазе, пространственно сопряженной с частицами оксида берилля, от исходного количества  $\alpha\text{-FeO}_{1.5}$  в системе, температуры  $T$  и времени изотермической выдержки  $\tau$  (с).

Исходные размеры частиц оксида берилля 10–15 мкм.

Содержание  $\text{FeO}_{1.5}$  в системе 0.01 мол. доли.  
 $T$  (К): 1 – 1073, 2 – 1173, 3 – 1273, 4 – 1373, 5 – 1423, 6 – 1473, 7 – 1523.

Указанный эффект позволил авторам предложить прием, активизирующий начальную стадию спекания веществ с малыми значениями поверхностной энергии, основанный на введении в систему некоторого количества химически инертного, тугоплавкого компонента с высокими значениями поверхностной энергии. При этом на начальных этапах эволюции системы происходит быстрый массоперенос жидкой 2-мерной фазы, образующейся за счет традиционных спекающих добавок, по инертному компоненту, через контакт с частицами которого и происходит активация процессов спекания основного компонента. В данном случае скорость уплотнения материала определяется не объемной долей введенного инертного компонента, а его поверхностью, степенью равномерности распределения среди частиц основного компонента и наличием связности между частицами инертного компонента. Рассмотренный способ активации был реализован при

спекании материалов на основе нитрида кремния. В качестве инертного компонента использовали карбид кремния. Полученные результаты проиллюстрированы на рис. 2.

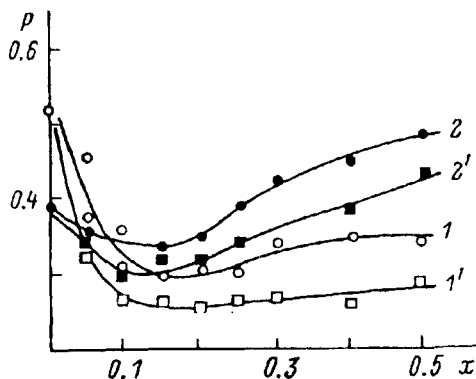


Рис. 2. Зависимость пористости  $P$  материалов на основе систем  $\text{Si}_3\text{N}_4-\text{YO}_{1.5}-\text{SiC}$  (1, 1') и  $\text{Si}_3\text{N}_4-\text{MgO}-\text{SiC}$  (2, 2') от содержания  $\text{SiC} x$  после спекания при температуре 1570 К в течение 0.54 в среде аргона.  
1', 2' – кривые, отвечающие уплотнению материала того же состава, но с более высокой степенью дисперсности карбида кремния.

## Выводы

Системодинамический подход к рассмотрению эволюции материалов позволил классифицировать и описать систему релаксационных процессов, сопровождающих спекание. На основе иерархической систематизации проанализированы возможные пути повышения скорости термического и термомеханического уплотнения порошковых материалов. Предложен и обоснован ряд технологических приемов ускорения спекания.

## Список литературы

- [1] Гусаров В.В., Суворов С.А. // ЖПХ. 1987. Т. 60. № 9. С. 1953–1956.
- [2] Гусаров В.В., Егоров Ф.К., Екимов С.П., Суворов С.А. // ЖФХ. 1987. Т. 61. № 6. С. 1652–1654.
- [3] Гусаров В.В., Суворов С.А. Фазообразование и свойства материалов в системах  $\text{BeO}-\text{AlO}_{1.5}-\text{MeO}_n$  ( $\text{Me}$  – 3d элемент, Ga). Л., 1988. 104 с. Деп. ОНИИТЭХИМ, Черкассы, № 787-хii-88.
- [4] Гусаров В.В., Суворов С.А. // ЖХОХ. 1988. Т. 58. № 4. С. 932–934.
- [5] Гусаров В.В., Малков А.А., Малыгин А.А. и др. // Тез. докл. VII Всесоюз. совещ. по физико-химическому анализу. Фрунзе: Илим, 1988. С. 82.
- [6] Гусаров В.В., Полякова Е.В., Суворов С.А. // Тез. докл. VI Всесоюз. совещ. по высокотемпературной химии силикатов и оксидов. Л.: Наука, 1988. С. 47.
- [7] Суворов С.А., Мигаль В.П., Гусаров В.В. // ЖПХ. 1989. Т. 62. № 12. С. 2649–2653.
- [8] Гусаров В.В., Коробко В.Н., Чаян С.Я., Суворов С.А. // Физико-химия и технология высокотемпературных сверхпроводящих материалов: Тр. I Всесоюз. совещ. Москва, 13–15 сент. 1988 г. М.: Наука, 1989. С. 284–285.
- [9] Гусаров В.В., Малков А.А., Малыгин А.А. и др. // ЖПХ. 1991. Т. 64. № 5. С. 1134–1135.
- [10] Гусаров В.В., Суворов С.А. // Перспективные направления химии и химической технологии. Л.: Химия, 1991. С. 153–158.
- [11] Gusarov V.V., Suvorov S.A., Malkov A.A. // 7 ICSCS. France. A4/P-07. 1991.
- [12] Гусаров В.В., Чайкун Е.В., Суворов С.А. // ЖПХ. 1991. Т. 64. № 5. С. 1134.
- [13] Гусаров В.В., Долгушев Н.В., Суворов С.А. // ЖПХ. 1992. Т. 65. № 1. С. 238.
- [14] Гусаров В.В., Суворов С.А. // ЖПХ. 1992. Т. 65. № 4. С. 730–735.
- [15] Gusarov V.V., Suvorov S.A. // The 6-th Int. Conf. on Ferrites. Tolyo, Japan, 1992. 01PaV-10.
- [16] Гегузин Я.Е. Физика спекания. М.: Наука, 1984, 312 с.
- [17] Гусаров В.В., Суворов С.А. // ЖПХ. 1990. Т. 63. № 8. С. 1689–1694.

Санкт-Петербургский технологический институт

Поступило в Редакцию 22 сентября 1992 г.